

# 論文 凍害と塩害の複合劣化作用がコンクリートの耐久性に及ぼす影響

竹田宣典<sup>\*1</sup>・十河茂幸<sup>\*2</sup>

**要旨：**塩化物イオンが供給される環境における凍結融解作用が、コンクリートの耐久性に及ぼす影響について定量的に把握することを目的として、塩化物イオンの浸透と凍結融解作用の影響を受けたコンクリートの耐久性や塩化物イオンの浸透について調査した。その結果、海水中で凍結融解作用を受ける場合、コンクリートの耐久性は水セメント比や空気量の影響を受け易い。凍結融解作用により相対動弾性係数が50%以下に低下した場合、塩化物イオンの拡散係数は、2~3倍に増加することが確認された。したがって、耐久性照査を行う場合、凍結融解作用を受ける時の塩化物イオンの拡散係数は、凍結融解作用を考慮した値を用いる必要がある。

**キーワード：**塩害、凍結融解、耐久性、複合劣化、塩化物イオン、スケーリング

## 1. はじめに

コンクリート構造物の耐久性照査を実施する場合、コンクリートの長期的な経年変化を予測する必要がある。建設後の構造物は、多くの場合、複合的な劣化作用を受けると考えられるが、その劣化の進行については、未だ充分に明らかにされていない。凍結融解作用と塩化物イオンの影響を受ける場合の劣化現象に関しては、これまでに報告されている例があるが<sup>1),2),3),4)</sup>、劣化予測を行うために十分なデータの蓄積がなされているとは言えない。そこで、寒冷地における海洋環境下のコンクリート構造物を対象に、塩化物イオンの浸入と凍結融解作用の複合要因が、コンクリートの耐久性に及ぼす影響について定量的に把握し、耐久性照査に資することを目的として、海水中で凍結融解作用を受ける場合の劣化の進行、および凍結融解作用を受けた場合の塩化物イオンの浸透性状について定量的な結果を得るための実験を行った。

## 2. 実験方法

### 2. 1 試験シリーズ

実験は、以下の2シリーズについて実施した。  
**実験I：**土木学会規準に準拠した凍結融解試験

(JSCE-G501)において、凍結水を海水(塩素イオン濃度1.8%)および水道水として実施。

## 実験II：土木学会規準に準拠した凍結融解試験

(JSCE-G501)を行った後、海水噴霧・乾燥繰り返し試験を実施(図-1に示す順序で実施)。凍結融解試験は、材齢14日から開始し、最大390サイクルまで行ったが、動弾性係数が低下したものは、終了サイクル数を減じた。その後、材齢112日から海水噴霧・乾燥繰り返し試験(以下、海水噴霧試験と呼ぶ)を開始し、90,150,300サイクル終了後に、全塩化物イオン量を測定した。海水噴霧試験は、海水噴霧(塩素イオン濃度:1.8%人工海水、噴霧量:200ml/m<sup>2</sup>/hr、温度:30°C)12時間、高温乾燥(温度:40°C、相対湿度:60%)12時間の1サイクル/1日とし、塩化物イオンを供給させた。比較のために、凍結融解を受けないコンクリートについても、材齢28日から、同一サイクルまで海水噴霧試験を実施した。

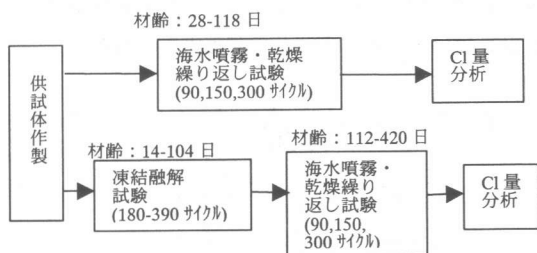


図-1 実験順序(実験II)

\*1 (株)大林組技術研究所 土木材料研究室  
\*2 (株)大林組技術研究所 土木材料研究室

副主任研究員 博士(工学) (正会員)  
室長 工博 (正会員)

表-1 コンクリートの配合・性質(実験Ⅰ)

実験	記号	Gmax (mm)	W/C (%)	s/a (%)	単位量 (kg/m³)				スランプ(cm)	空気量 (%)	圧縮強度 (N/mm²)			
					水	セメント	細骨材	粗骨材			材齢 14 日	材齢 28 日		
I a	40-2	15	40	45.0	166	415	795	998	1.04	0	4.5	2.9	51.8	57.0
	40-6						737	925		0	9.5	6.6	40.2	44.0
	50-2						863	999		0	5.5	2.5	40.3	45.9
	50-4		50	47.0	166	332	838	971	0.83	0	10.5	4.8	35.9	40.6
	50-6						802	928		0	18.5	7.4	30.2	35.1
	60-2		60	49.0	166	277	922	985	0.69	0	3.5	3.0	28.3	32.5
	60-6						858	917		0	15.5	7.2	22.7	25.9
	50-4-2.5									2.5	12.5	4.5	37.0	42.2
I b	50-4-5	15	50	47.0	166	332	838	971	0.83	5.0	11.5	4.8	33.6	38.4
	50-4-10									10.0	15.0	5.2	32.4	36.8

## 2.2 供試体

供試体は、断面  $100 \times 100\text{mm}$ 、長さ  $400\text{mm}$  の角柱とした。コンクリートの配合および性質を表-1、表-2に示す。水セメント比は 0.4, 0.5, 0.6 とし、空気量は 1.3~7.4%まで変化させた。

実験 I では、塩化物イオンを練り混ぜ時に添加しない配合の他に  $2.5, 5.0, 10.0\text{kg}/\text{m}^3$  の塩化物イオン添加した配合を含めた。セメントは普通ポルトランドセメント、細骨材は陸砂（表乾密度： $2.59\text{ g}/\text{cm}^3$ 、吸水率：2.19%）、粗骨材は碎石（表乾密度： $2.66\text{ g}/\text{cm}^3$ 、吸水率：0.86%）を用いた。

## 2.3 試験項目・試験方法

試験項目および試験方法を表-3に示す。実験 I では、動弾性係数、質量変化、スケーリング深さを測定し、実験 II においては、凍結融解試験では、動弾性係数、質量変化を測定し、塩水噴霧試験では、表面から  $20\text{mm}$  毎に塩化物イオン量を測定し、見かけの拡散係数を算定した。見かけの拡散係数は、式(1)に示す Fick の拡散方程式の解の式を用いて、最小二乗法により求めた。スケーリング深さは、図-2に示すようにレーザ式非接触変位計を用いて、表面の凹凸の測定より求めた。

$$C = C_0 \left\{ 1 - \operatorname{erf} \left( \frac{x}{2\sqrt{D_c t}} \right) \right\} \quad (1)$$

x : 表面からの深さ (cm), t : 経過時間 (s)

C : 深さ x における塩化物イオン量 (%)

$C_0$  : 表面塩化物イオン量 ( $x=0$  における塩化物イオン量 (%))

$D_c$  : 見かけの拡散係数 ( $\text{cm}^2/\text{s}$ )

erf : 誤差関数

表-2 コンクリートの配合・性質(実験Ⅱ)

記号	W/C (%)	単位量 (kg/m³)		スランプ (cm)	空気量 (%)	圧縮強度 (N/mm²)	
		水	セメント			材齢 14 日	材齢 28 日
40-2	40	415		6.0	2.3	54.6	59.4
				10.0	6.8	37.1	41.2
				9.0	1.3	40.0	44.0
50-2	50	166	332	10.0	4.2	35.7	39.4
				16.5	6.6	30.5	33.2
				7.5	2.3	31.2	35.0
60-2	60	277		15.0	6.8	23.7	26.4
60-6							

表-3 試験項目と試験方法

試験項目	試験方法
動弾性係数	JIS A 1127 および土木学会規準 JSCE G 501 に準拠し、凍結融解試験(JSCE G 501)における繰り返し回数 30 サイクル毎に測定
コンクリート質量	
スケーリング深さ	非接触型レーザ変位計により、コンクリート表面におけるスケーリング深さを測定し、平均値を「平均スケーリング深さ」とした。(図-2参照)
塩化物イオン量	JCI SC4(塩素イオン選択性電極を用いた電位差滴定法)による全塩化物イオン量の定量分析

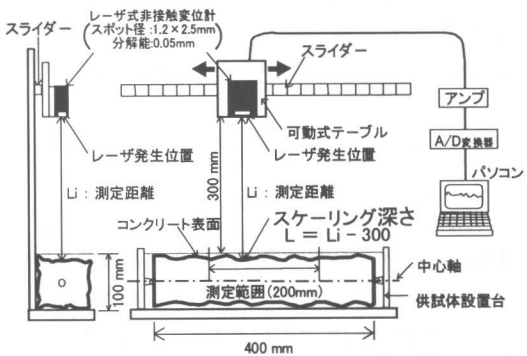


図-2 スケーリング深さ測定装置

### 3. 試験結果

#### 3.1 海水中での凍結融解繰り返しによる劣化

##### (1) 相対動弾性係数

実験 I での凍結融解試験における相対動弾性係数 (REd) の変化を図-3に示す。繰り返し回数 300 サイクル時の REd を、海水中で凍結融解繰り返しを行った場合と水道水中で凍結融解繰り返しを行った場合について比較すると、W/C が 0.4 では、海水中の方が、水道水中に比べて 5 ~ 10% 低く、W/C が 0.5 では、海水中の方が、水道水中に比べて 10% 以上低くなかった。W/C が 0.6 の場合においても、海水中の方が REd の低下は速い。また、海水中で凍結融解繰り返しを行った場合、空気量が 2~3% の時、REd が 80% 程度になるサイクル数は、W/C が 0.4 で 300、W/C が 0.5 で 150、W/C が 0.6 で 60 であり、空気量が 7% 程度の時、REd が 80% 程度になるサイクル数は、W/C が 0.4 で 300 以上、W/C が 0.5 で 270、W/C が 0.6 で 120 である。いずれの W/C においても、空気量を多くすると、海水中で凍結融解作用を受ける場合の REd の低下は遅くなる。

##### (2) 質量減少率

実験 I での凍結融解試験における質量減少率の変化を図-4に示す。水道水中で凍結融解繰り返しを行った場合、W/C や空気量に係わらず、試験終了時における質量減少率は 5% 以下となつた。一方、海水中で凍結融解繰り返しを行った場合、質量減少率は、W/C が 0.4 では、300 サイクル時において 5~10%，W/C が 0.5 以上では、150 サイクル以内で 10% 以上となり、スケーリングの進行は、水道水の場合に比べて速い。W/C が 0.5 以上のコンクリートでは、海水中で凍結融解繰り返しを行った場合、相対動弾性係数が 80% 以上である場合においても、質量減少率は 10% 以上となり、スケーリングが進行していた。

図-5 に相対動弾性係数と質量減少率の関係を示す。海水中で凍結融解繰り返しを行った場合、W/C や空気量に係わらず、水道水中に比べて、同一相対動弾性係数に対する質量減少率が大きいことが認められた。塩分供給環境におい

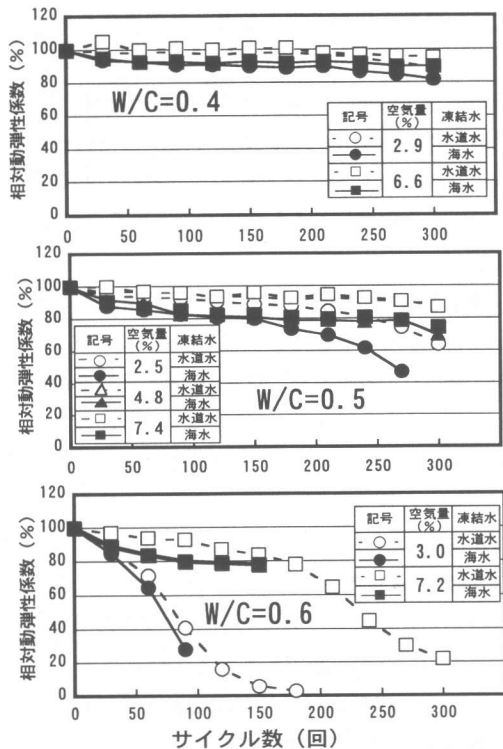


図-3 相対動弾性係数の変化(実験 I )

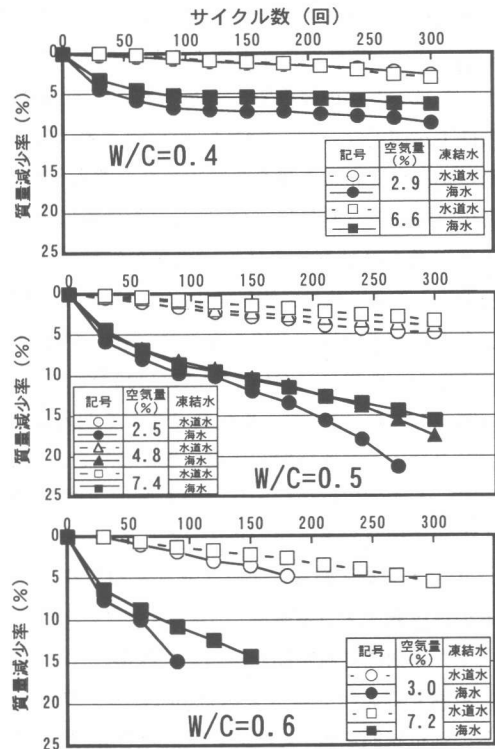


図-4 質量減少率の変化(実験 I )

て凍結融解作用を受ける場合、動弾性係数の低下よりも、スケーリングとして顕著に現れることが確認された。この理由は、既往の研究<sup>3),5),6)</sup>においても指摘されているように、塩化物イオンの存在により、水が凍結する空隙径の低下や浸透圧の増加が起こるためであると考えられる。

### (3)スケーリング深さ

実験Ⅰの凍結融解試験における質量減少率と平均スケーリング深さの関係を図-6に示す。平均スケーリング深さは、図-2に示す装置を用いて測定したスケーリング深さの平均値とした。凍結水の種類に係わらず、質量減少率と平均スケーリング深さの間には相関関係が認められ、質量減少率が15%程度の時、平均スケーリング深さは4mm程度であった。スケーリングの深さを計ることにより、表面の劣化程度をある程度評価することが可能であると考えられる。

### 3.2 初期含有塩分が凍結融解繰り返しによる劣化に及ぼす影響

塩化物イオンを混入したコンクリートの凍結融解試験における相対動弾性係数(RED)の変化を図-7に、質量減少率の変化を図-8に示す。コンクリート中の塩化物イオン量が多い程、REDの低下が速くなった。これは、塩化物イオン含有量が細孔径分布に影響を及ぼすためと考えられ<sup>7)</sup>、塩化物イオン含有量により、凍結融解作用による内部の微小ひび割れの発生に差異が生じたものと考えられる。また、質量減少率も、塩化物イオン含有量が多い程、大きくなるが、REDが50%以下となった場合においても、質量減少率は5%以下であった。よって、塩化物イオンを混入したコンクリートが凍結融解作用を受ける場合、コンクリートの劣化はスケーリングよりも、REDの低下として現れることが認められた。

### 3.3 凍結融解により劣化したコンクリートの塩化物イオン浸透性

#### (1) 塩水噴霧試験開始時の劣化状態

実験Ⅱにおける塩水噴霧開始時のコンクリートの劣化状態を表-4に示す。塩水噴霧開始時ににおける凍結融解試験でのREDは21~91%の範囲

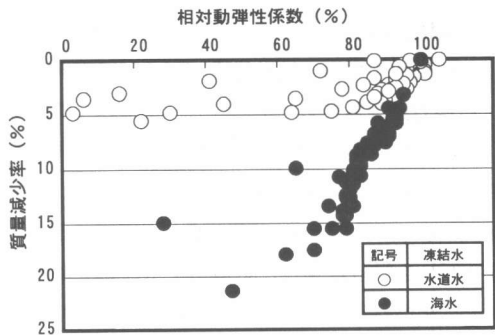


図-5 相対動弾性係数と質量減少率の関係

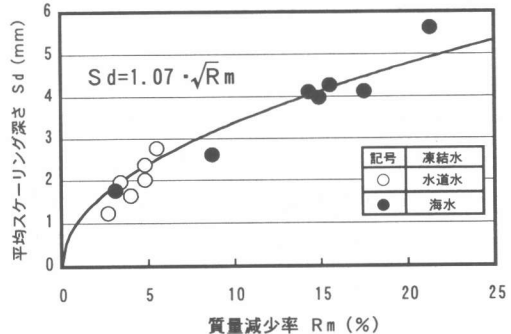


図-6 質量減少率と平均スケーリング深さの関係

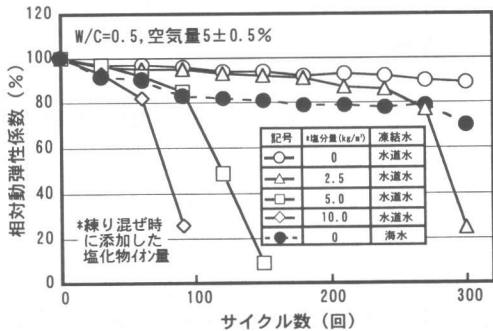


図-7 相対動弾性係数の変化

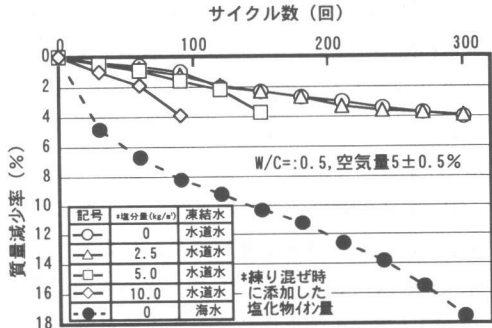


図-8 質量減少率の変化

にあった。また、質量減少率は3.8~5.6%の範囲にあり、いずれの配合も、表面に粗骨材が現れる程度のスケーリングが発生していた。

## (2) 塩化物イオンの浸透性

海水噴霧300サイクル終了後の塩化物イオンの浸透量分布を図-9に示す。凍結融解作用を受けた場合、W/Cや空気量に係わらず、表面部（表面～2cm）の塩化物イオン量は、凍結融解作用を受けない場合に比べて少ない。また、深さ3cmより深い部分においては、W/Cが0.4では、相対動弾性係数（REd）が80%以上であり、凍結融解作用が塩化物イオン浸透量に及ぼす影響は小さいが、W/Cが0.5以下では、REdが80%以下であり、凍結融解作用を受けた場合の塩化物イオン浸透量は多くなった。凍結融解作用を受け、REdが40%以下となったコンクリート（W/C:0.5で空気量1.3%，W/C:0.6で空気量2.3%）では、深さ3cm位置における塩化物イオン量は、凍結融解作用を受けない場合の約2.5~3倍程度となった。この理由は、凍結融解作用を受け、REdが低下したコンクリートは、表面部のスケーリングと内部の微細なひび割れの発生のために、塩化物イオンが浸透し易い組織となるためと考えられる。

## (3) 塩化物イオンの拡散係数

塩水噴霧試験終了後の塩化物イオンの見かけの拡散係数を表-5に示す。また、凍結融解作用を受けない場合の見かけの拡散係数（D1）に対する凍結融解作用を受けた場合の見かけの拡散係数（D2）の比と相対動弾性係数（REd）の関係を図-10に示す。塩水噴霧・乾燥繰り返しの回数によって、拡散係数比（D2/D1）は、若干

表-4 塩水噴霧試験前の供試体の劣化状態

W/C (%)	空気量 (%)	相対動弾性 係数 REd(%)	質量減少率 (%)	凍結融解回 数(回)
40	2.3	82	3.9	390
	6.8	91	3.8	390
	1.3	39	5.2	360
50	4.2	41	5.6	360
	6.6	67	5.4	390
	2.3	21	4.7	180
60	6.8	45	4.9	270
	2.3	21	4.7	180

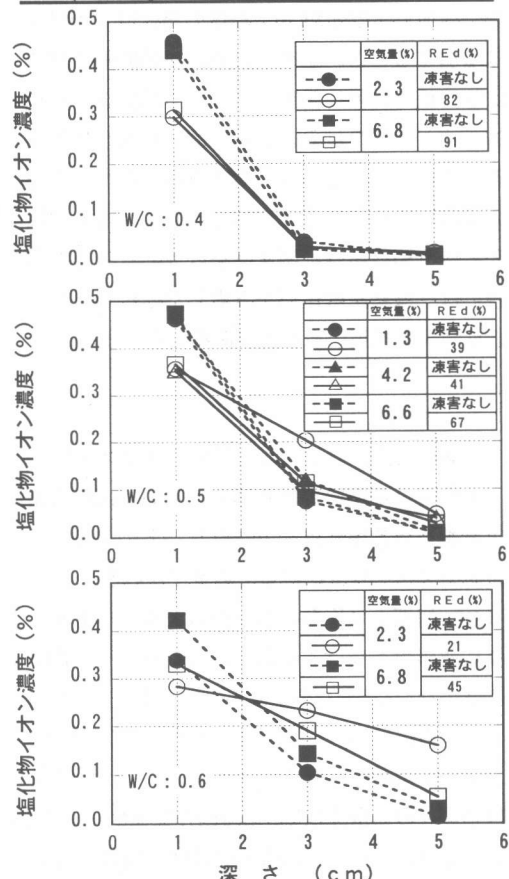


図-9 塩化物イオンの分布(300サイクル)

表-5 塩水噴霧・乾燥繰り返し試験後の見かけの拡散係数

W/C (%)	空気 量 (%)	相対動弾 性係数 (%) REd	90サイクル		150サイクル		300サイクル	
			拡散係数( $\times 10^{-8} \text{cm}^2/\text{s}$ )	拡散係 数比 D2/D1	拡散係数( $\times 10^{-8} \text{cm}^2/\text{s}$ )	拡散係 数比 D2/D1	拡散係数( $\times 10^{-8} \text{cm}^2/\text{s}$ )	拡散係 数比 D2/D1
			海水噴霧 D1	海水噴霧 D2	海水噴霧 D1	海水噴霧 D2	海水噴霧 D1	海水噴霧 D2
40	2.3	82	7.8	15.6	2.00	4.8	4.8	1.00
	6.8	91	8.4	10.0	1.19	5.0	4.8	0.96
50	1.3	39	7.8	40.0	5.13	8.1	13.0	1.60
	4.2	41	14.0	27.4	1.96	9.5	11.6	1.22
	6.6	67	13.3	20.2	1.52	8.5	10.2	1.20
60	2.3	21	16.2	139	8.58	11.3	118	10.45
	6.8	45	19.0	52.0	2.74	14.2	66	4.65

異なるが、W/C や空気量が異なる場合においても、REd と拡散係数比の間には相関関係が認められ、REd が低下すると、見かけの拡散係数は増大することが認められた。凍結融解作用を受けたコンクリートの見かけの拡散係数は、REd が 80% 以上の場合は、凍結融解作用を受けない場合の見かけの拡散係数と大差ないが、REd が 50% 程度になると、見かけの拡散係数は約 2~3 倍に増加し、REd が 20% 程度の場合は 6 倍以上に増加することが認められた。凍結融解作用により、相対動弾性係数が低下する場合は、塩化物イオンの見かけの拡散係数が、かなり増加するため、寒冷地の海洋環境下の構造物、あるいは融冰剤を用いる構造物の塩化物イオンの浸入に伴う鋼材腐食に関する耐久性照査を行う場合には、凍結融解作用を考慮した塩化物イオンの拡散係数を用いる必要があると考える。

#### 4. まとめ

実験の結果、以下のことが明らかになった。

(1) 塩分が供給される環境において凍結融解作用を受ける場合は、コンクリートの劣化は、表面のスケーリングとして顕著に現れる。

(2) 初期より塩分を含んだコンクリートが、凍結融解作用を受ける場合は、コンクリート内部に微小なひび割れが発生するために、コンクリートの劣化は、動弾性係数の低下として現れる。

(3) 凍結融解作用を受けたコンクリートの塩化物イオンの拡散係数は、相対動弾性係数が 80% 以上の場合は、凍結融解作用を受けない場合と大差ないが、相対動弾性係数が 50% 程度になると、見かけの拡散係数は 2~3 倍に増加し、相対動弾性係数が 20% 程度の場合は、6 倍以上に増加することが認められた。

(4) 塩分が供給される環境において、凍結融解作用を受けると、相対動弾性係数が低下し、塩化物イオンの拡散係数が増加する場合がある。したがって、塩化物イオンの浸透と凍結融解繰り返しの複合的劣化環境における構造物の耐久性照査を行う場合には、凍結融解作用を考慮し

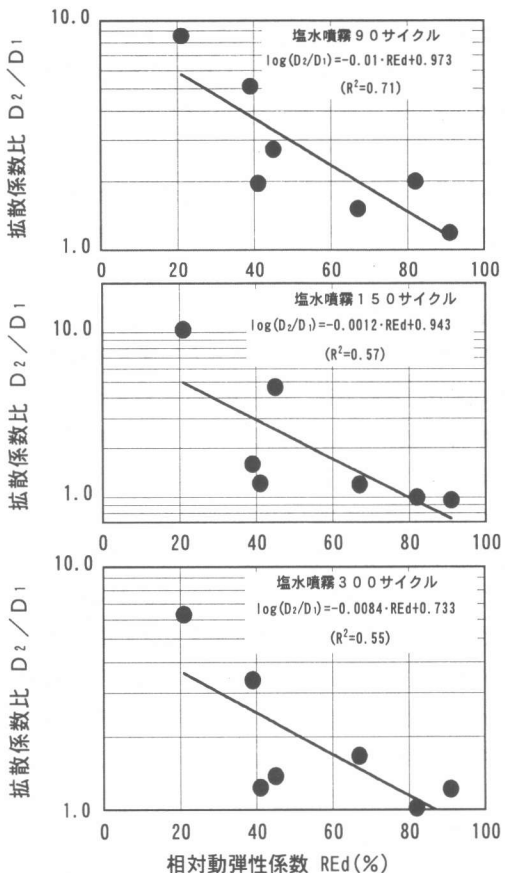


図-10 相対動弾性係数と拡散係数比の関係

た塩化物イオンの拡散係数を用いる必要がある。

#### 参考文献

- 1) 鮎田耕一, 林正道: 海水の作用を受けるコンクリートの凍結融解に対する耐久性, セメント技術年報 35, 1981
- 2) 藤田卓, 藤田嘉夫: 硬化セメントペーストのスケーリング劣化に及ぼす塩化物イオンの影響, 土木学会論文集 第360号/V-3, 1985
- 3) 佐伯昇, 藤田嘉夫: 寒冷地における海岸環境下のコンクリート, コンクリート工学, Vol.25, No.4, 1987
- 4) 月永洋一, 庄谷征美, 笠井芳夫: 凍結防止剤によるコンクリートのスケーリング性状とその評価に関する基礎的研究, コンクリート工学論文集 第8号, 第1巻, 1997
- 5) 月永洋一, 庄谷征美, 原忠勝: 塩化物作用したコンクリートの凍害劣化に関する研究, セメント・コンクリート論文集 No.47, 1993
- 6) 三浦尚, 板橋洋房, 岩城一郎: 凍結防止剤の影響を受けるコンクリートの凍害劣化に関する基礎的研究, JCI 融雪剤によるコンクリート構造物の劣化研究委員会論文集, 1999
- 7) 大和竹史, 江本幸雄, 添田政司: 塩化物を含むコンクリートの凍結融解抵抗性, セメント技術年報 35, 1985